

山口大学工学部 正員 斎藤 隆
西日本工業大学 正員 赤司 信義

越流余水吐の流量係数は從来より多くの人々によつて実験的に又理論的に被研究されつゝある。周知のように理論的研究の多くは流線の軌道を同心円とする仮定に基づいた二次元オーテンシャル流理論によるものであつて、こうした解析によれば流量係数は過大に評価されることがある。特に越流水頭が設計水頭より大きくなると、その傾向は顕著である。同心円流れとする解析法では十分流れを説明できない。本文はこうして観察から、堤頂付近の流線についての実験結果を検討し、流線曲率分布及び流線勾配を実験式で表し、同心円流れの仮定をとりはずして改善された速度分布関係に代入して、構造よく標準型越流余水吐の流量係数を把握しようとしたものである。

越流水頭が大きくなる時の流れの概略をFig. 1 に示した。底面に垂直な法線軸上(γ 軸)では流線勾配が異なるため遠心力作用方向は一定でなく、 γ 軸方向の遠心力成分は図中に示すように、水表面曲率 r_m に対して $V^2/r \cdot \cos \phi_s$ となる。今、 γ 軸上の流線勾配及び曲率半径を、 $\tan \phi_y$, r_y と表わすと、 γ 軸方向の力の釣り合ひは次式となる。

$$\frac{1}{\rho} \frac{\partial P}{\partial y} = \frac{V^2}{r_y} \cdot \cos \phi_y - g \cdot \cos \theta \quad \cdots \cdots (1)$$

上式ヒベルヌーイの定理より圧力項を消去すると次式が導かれる。

$$\frac{V^2}{r_y} \cos \phi_y + \frac{\partial V}{\partial y} = 0 \quad \cdots \cdots (2)$$

堤頂付近の流線についての実験結果によれば、水表面曲率半径を r_s 、底面曲率半径を r_b とするととき、 γ 軸上の曲率半径の分布は(3)式で示され、又流線勾配は(4)式で示される。

$$\frac{r_s - r_b}{r_s - r_b} = 0.71 \left(\frac{y}{h} \right)^2 + 0.29 \left(\frac{y}{h} \right) \cdots (3) \quad \tan \phi_y = \tan \phi_s \left(\frac{y}{h} \right) \cdots (4)$$

この時、底面接線方向の速度分布は上二式を(2)式に代入して導かれる。

$$\begin{aligned} \frac{u}{V_s} &= \frac{1}{\sqrt{1 + \tan^2 \phi_s} \cdot \gamma^2} \cdot \exp \left(2 \cdot \frac{h}{E_0} \cdot f_1 \cdot P_1 \right), \\ P_1 &= \frac{f_2 \cdot \ln \left| \frac{a+b+c}{a \gamma^2 + b \gamma + c} \right| + \frac{2af_3 - bf_2}{af_6} \cdot \tan^{-1} \frac{2af_6 \cdot (1-\gamma)}{f_6^2 + (2a+b)(2a\gamma+b)}}{2ad \cdot \ln \frac{2+d}{2+d\gamma^2}} + \frac{f_4}{2d} \cdot \ln \frac{2+d}{2+d\gamma^2} + \frac{f_5}{\sqrt{2d}} \cdot \tan^{-1} \frac{\sqrt{2d} \cdot (1-\gamma)}{2+d\gamma^2} \end{aligned} \quad \left\{ \begin{array}{l} (5) \\ \end{array} \right.$$

$$\therefore u = V_s \cdot \frac{1}{\sqrt{1 + \tan^2 \phi_s} \cdot \gamma^2} \cdot \exp \left(2 \cdot \frac{h}{E_0} \cdot f_1 \cdot P_1 \right) \quad (6)$$

$$f_1 = 1 / \{ 2b^2d + (2a - cd)^2 \}, \quad f_2 = a \cdot b, \quad f_3 = b^2d + a(2a - cd)$$

$$f_4 = -bd^2, \quad f_5 = cd^2 - 2ad, \quad f_6 = \sqrt{4ac - bd^2}$$

$$\text{又}, \gamma = y/h, E_0 \text{は設計水頭である}, \text{而して}, \text{流量は上式を数値的に積分すること} \text{である}。 \theta \sqrt{2g E_0^3} = V_s \sqrt{2g E_0} \cdot h/E_0 \cdot \int_0^h u \cdot V_s \, dy \quad \cdots \cdots (6)$$

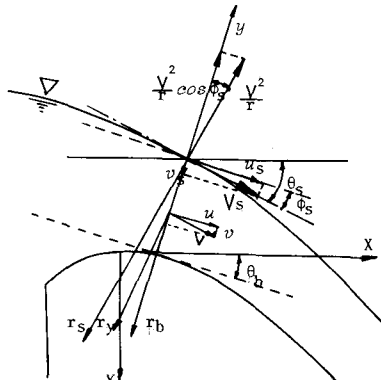


Fig. 1 Derivation of velocity profiles of overflow spillways

NOTATION: (Fig. 2, 3, 4, 5)

- : from Araki's experimental results
- : from Fujimoto's experimental results
- △ : author's experimental results
- △ - - - ; (RANDOLF-CURVE)
- ▲ - - - ; (HARROLD-CURVE)

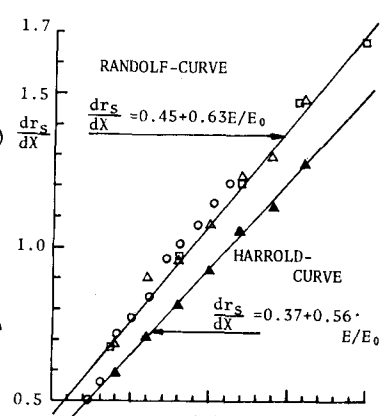


Fig. 2 Relation between dr_s/dx and E/E_0

流線についての実験結果^{*}を導入して前述の流量係数式を適用するため、ダム頂の γ_s , θ_s を Fig. 3, 5 及びダム頂よりダム頂下流 ($X/E_0=0.2$) の区間での γ_s , θ_s の X 方向の変化を直線変化とみなしてその変化率を Fig. 2, 4 に示し、それを実験式化した。なお、図中には水面形状に関する荒木の実験結果(土木研究所報告: No. 93, 1955)及び藤本の実験結果(土木研究所報告: No. 128, 1966)を使用して算出した γ_s , θ_s 等の値を示した。两者ともランドルフ形状について実験を行ったので著者らのランドルフ形状に関する実験値と非常によく一致している。

標準型越流余水吐の底面曲率半径はダム頂で 0 となるため、直接形状より与えられる値を適用して解析計算を行うことはできない。著者らの実験によれば、底面曲率半径は近似的に次式として表せた。

$$\frac{r_b}{E_0} = 2.47 \left(\frac{X}{E_0} \right)^2 - 0.27 \left(\frac{X}{E_0} \right) + 1.07 \quad \cdots \cdots (7)$$

ハロルドとランドルフ形状について特に明確な差異は認められなかつたことから、上式によて標準形状の底面曲率半径を近似して大差ないと考える。

こうした実験式を適用して(6)式に代入することで、支配断面の位置及び流量俎数を算出することができる。[計算手順]: γ_s , θ_s , r_b を(6)式に代入し、Q が最大となる3限界水深 h_c 及びその時の限界流量 Q_c を場所的に求め、最小の限界流量を与える断面を支

配断面として、又その断面の限界流量を与えた越流水頭での流量として決定する。図 6 はランドルフ、ハロルド麻形状についての計算結果と他の流量俎数算定式と共に示した。又図中のデータは前述の荒木、藤本の文献より載記したものである。流量俎数は麻形状とも大差なく藤本の推定式とよく一致している。

支配断面は麻形状ともダム頂としてある。流線すなわち曲率半径や流線勾配を精度よく定めることができれば、他の越流形状についても、本文に示した解析法で十分に流量俎数を検討することができます。

*): 1949 年講: 標準型越流底付近の流線について

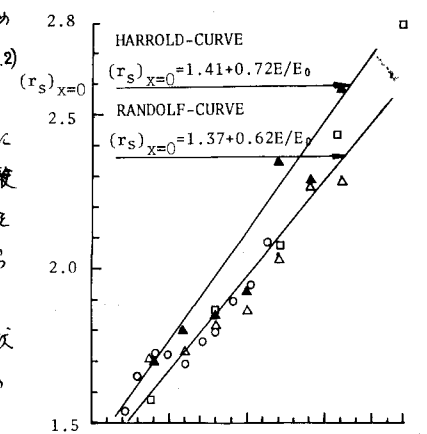


Fig. 3 relation between $(r_s)_{x=0}$ and E/E_0

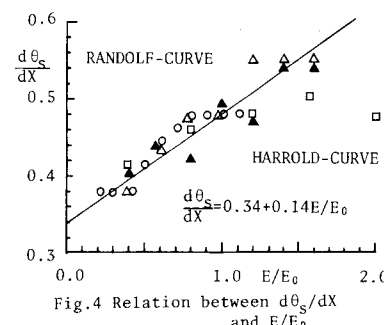


Fig. 4 Relation between $d\theta_s/dx$ and E/E_0

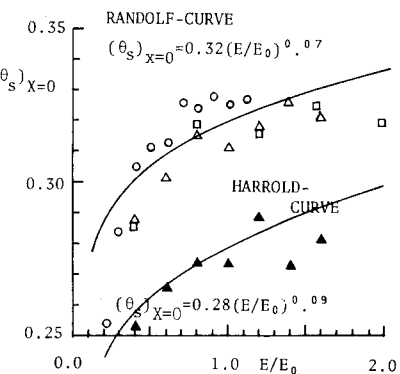


Fig. 5 Relation between $(\theta_s)_{x=0}$ and E/E_0

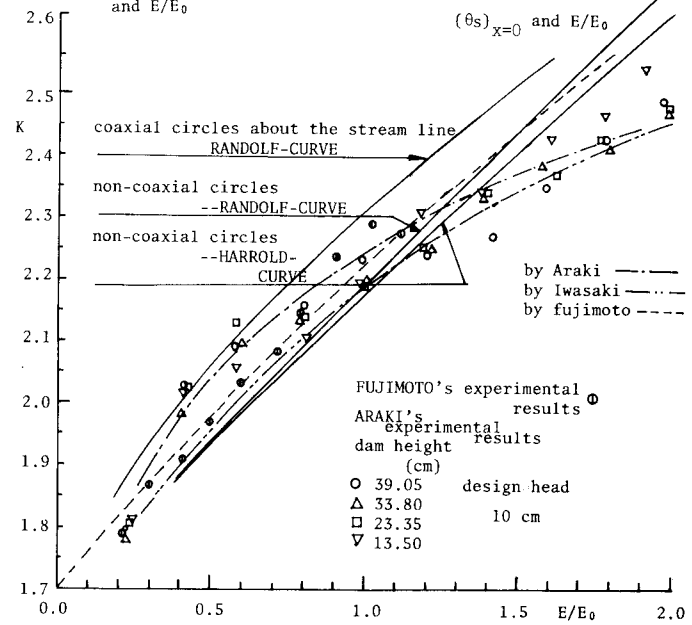


Fig. 6 Coefficient of discharge